

دراسة مختبرية لحماية سفح المؤخر للهدارات الركامية
باستخدام السلال الصخرية

غنية عبد المجيد حياوي
كلية الهندسة/ جامعة

بهزاد محمد علي نوري
كلية الهندسة/ جامعة دهوك
الموصل

الخلاصة

تم في هذا البحث دراسة مدى ثباتية واستقرار سفح المؤخر للهدارات الركامية المعرضة للجريان الفوقي باستخدام السلال الصخرية وذلك بإنشاء أربع نماذج من الهدارات بميول مختلفة لسفح المؤخر [1V:2.5H,1V:3H,1V:4H,1V:5H] وأجريت ثمانٌ وأربعون تجربة، نفذت لاربع حالات لوضع السلال الصخرية على سفح المؤخر [وضع السلال الصخرية بطبقة واحدة بدون ربط (M-1)، ربط السلال الصخرية أفقياً (M-H)، ربط السلال الصخرية رأسياً (M-V)، وضع السلال الصخرية بطبقتين بدون ربط (M-2) ، ولثلاثة أقطار من الحصى [11.11,15.9,22.25] ملم.

من تحليل النتائج تم الحصول على معادلات لحساب تصريف الفشل بدالة معدل قطر الحصى ، الكثافة النسبية للسلال الصخرية المغمورة، صلادة طبقة السلال الصخرية ، وميل زاوية الوضع للسلال الصخرية لكل حالة من حالات وضع السلال الصخرية على السفح. وتم تقديم طريقة مبسطة لتصميم الهدارات الركامية المحمية بالسلال الصخرية بدالة أكبر تصريف فشل يمر فوق الهدار وبالاستعانة بمنحنيات تصميمية لكل حالة. كما تم اشتقاق نموذج رياضي يعتمد على خواص النموذج الفيزيائي والذي أعطى تصريف فشل قريب من المقاس وكل ميل من الميل الأربعة. عند مقارنة نتائج الدراسة الحالية مع نتائج الدراسات السابقة تبين بأن الهدارات الركامية المحمية بالسلال الصخرية تعطي تصارييف فشل أكبر من الهدارات الترابية المحمية بالسلال الصخرية .

الكلمات الدالة:-السلال الصخرية، الهدارات الركامية

**Laboratory Study Of Protecting Downstream Slope Of Rockfill Weirs
Using Gabions**

Bahzad Mohammad Ali Noori

Ghania Abed Al-Majeed Hayawi

Abstract

In the present research, the stability of rockfill weirs protected by gabions and subjected to overtopping flow rates under the effect of high flow rates has been studied experimentally. Four weir models with different downstream slopes [1V:2.5H,1V:3H,1V:4H,1V:5H] were constructed and tested. Forty eight experiments were conducted for four cases of gabions laying on the downstream

slope[laying gabions with one layer and no connections (M-1), laying gabions with lateral connections (M-H), laying gabions with longitudinal connections (M-V), laying gabions with two layers(M-2] using three gravel diameters (11.11,15.9 and 22.25)mm. From the data analysis, many equations were obtained for the estimation of failure unit discharge in terms of equivalent gravel diameter, relative submerged intensity of gabions, gabions layer solidity, and tangent of internal friction angle of gabions, for each case of gabions laying. A simple method was presented for the design of rockfill weirs protected by gabions in terms of maximum failure discharge with the help of design charts obtained from the present study.

A mathematical model depending on the characteristics of the physical model was derived for each slope giving failure unit discharge values that agree quite well with the experimental values.

Comparing results of the present study with those of other investigations shows that rockfill weirs protected by gabions stand higher failure unit discharge than earth weirs protected by gabions.

١-مقدمة عام ٢٠٠٧/٣

قبل في 17/6/2007

يرجع بناء السدود إلى ما يقارب (4000) سنة قبل الميلاد، حيث تم بناؤها لغرض خزن المياه لاستخدامها في ري الحقول الزراعية ولغرض الحفاظ على ثباتية واستقرارية سفح المؤخر للمنشآت الركامية المعرضة للجريان الخلالي والفوقي وتم تسليحها أحياناً باستخدام شبكة حديدية أو رصها بالصخور الكبيرة أو تغطيتها بالسلال الصخرية (Gabions) التي تتميز باحتفاظها بنفس نفاذية المواد الركامية المشابهة ولكن بثباتية أكبر من ثباتية الصخور المنفردة [1]. إن استخدام المواد الركامية لبناء الهدار ذاتي المسيل تمثل خطوة هامة ومتقدمة في مجال تصميم وبناء المنشآت الركامية [2]. يتم في هذا النوع من الهدارات خزن قسم من الماء بينما يمر القسم الآخر كجريان خلالي أو فوقى عبر الهدار الركامي. وتعتبر هذه الطريقة أكثر اقتصادي من الطريق القديمة لإنشاء الهدارات الركامية للأسباب الآتية:-

الركامية ذاتية المسيل تسمح بعبور الماء من خلالها وفوقها لذلك فعند إنشائها

الهار [6] (Riprap) لتصميم وبناء مسيل مائي تقليدي نظراً لتبديد طاقة الماء وتهذتها أثناء مروره مما يؤدي أيضاً إلى عدم الحاجة لتصميم وبناء حوض تهذئة. السلال الصخرية عبارة عن أكياس مشبكة صندوقية أو أسطوانية مملوقة بالصخر أو الركام[3] والتي عادةً تستخدم في بناء المنشآت الهيدروليكيّة مثل السدود والأسنان الصخرية لتهذيب الأنهار وكمبددات للطاقة وبناء الجدران الساندة وكذلك في حماية تعرية [4]. [5] تستخدم السلال الصخرية في المواقع التي توجد فيها مواد ركامية ناعمة وغير قادرة على حماية المنشآت من التآكل وقوة السحب ومن الناحية الاقتصادية عند عدم توفر المواد الصخرية ذات الأحجام الكبيرة أي تكون كلفة نقلها من مناطق بعيدة أكثر بالتكلسية الحجرية لال الصخرية وعادةً السلال الصخرية تحتاج إلى (3/1)

بين الباحث ، (Smith, 1979) [7] في دراسة مبسطة على فرشة السلال الصخرية الحرة هدارات ترابية وبميل لسفح المؤخر (1V:10H) أنها تفشل بسرعة حيث ترتفع حافتها العليا بفعل التيار عندما تستعمل لحماية سفح المؤخر للهدار. أعاد الاختبار مرة أخرى بربطها مع بعضها من الأعلى والأسفل فلاحظ بأن الفرشة تزحف جميعها إلى الأسفل وبمعدل أقل من معدل الجريان المطلوب تنفيذه لهذا هو الحصول على أقل كلفة محتملة لمادة الحماية للهدار الترابية ستيفنسون (Stephenson, 1980) [8] في دراسته عن استقرارية السلال الصخرية في الهدارات أن الفشل يحصل إما نتيجة الانقلاب (Overturning) أو نتيجة زحف السلال الصخرية (Sliding) وهذه يمكن حلها رياضيا حيث وجد علاقة لكل حالة من حالات الفشل جيروديتي (Gerodetti, 1981) [9] للسد الوقتي الصخري في المحطة الكهرومائية في هندوراس من الناحية الهيدروليكيه والذي تم بمقاييس (1:100) ويكون من ركيزة تعمل كجدار مانع وقد تم حماية السفح والقمة وجاء من سفح لسلال الصخرية المسلحة والبالغ عددها (37) وقد ثبتت في جسم هدار للتغلب على مشكلة رفع السلة الصخرية وحركتها من مكانها حيث إن الجريان الحاصل في جسم هدار يسبب حدوث تسرب قوي يعمل على دفع السلة الصخرية إلى الأعلى وهذا ما يسبب في تقليل وزن السلة الصخرية، وكذلك قام الباحث ، (Dawood, 1999) [10] بإجراء دراسة مختبرية لاستقرارية الهدارات الترابية باستخدام السلال الصخرية حيث تمكّن من دراسة العوامل المختلفة التي سلوكيّة السلال الصخرية مثل السلة الصخرية الصخرية ميل سفح المؤخر ومعدا قطر الحصى وقد أنشأت خ نماذج بميول مختلفة لسفح المؤخر تتراوح بين (1V:3H) . (1V:10H)

2- النموذج الرياضياتي:-

الإجابة: طبقات الحماية تكون من صخريات ذات نفاذية عالية وإن الفراغات تكون جميعها مملوئة بالماء الحمایة تعمل جميعها ككتلة واحدة ولعرض تبسيط المتغيرات تم تعريفها كالتالي:-

a'' = صلادة طبقة السلال الصخرية المستخدمة للحماية لكل نوع من الحصى، $b' =$ مادة h = عمق الماء الحرج $S =$ سفح المؤخر $d =$ الحماية للسلة الصخرية و

السلة الصخرية و γ_s = الكثافة الوزنية للحصى و γ_w = الكثافة الوزنية للماء، و $a'' \left(\frac{\gamma_s}{\gamma_w} - 1 \right) = A$) ولأجل الحصول على النموذج المطلوب سيتم فصل المتغيرات إلى قسمين .
القسم الأول يتعلق بالعمق الطبيعي للماء والقسم الثاني يتعلق بالقوى المؤثرة على

1.2 معادلة عمق الماء الطبيعي (d_n)

الطبقة من مادة الحماية على سفح المؤخر (h) يمثل سمك طبقة السلة الصخرية من قعر الطبقة المحمية والى قعر العمق المفروض للجري. فبهذا تكون كتلة الطبقة لكل وحدة مساحة سطحية تساوي [7]-:

$$M = a'' \rho_s h$$

... (1)

(r') يتم الحصول عليها من العلاقة الآتية : $\rho_s = \text{الكثافة الكلية للحصى}$

$$D_s = r' = b'h$$

... (2)

-: $D_s = \text{معدل قطر الحصى و يمكن التعبير عن معامل مانعك لخشونة } n_s$ العلاقة الآتية : [7]

$$n_s = 0.153 \frac{(r')^{1/6}}{\sqrt{g}}$$

... (3)

-:

$g = \text{التعجيل الأرضي وان السرعة في القنوات المفتوحة تساوي:}$

$$V = \frac{1}{n} R^{2/3} S^{1/2}$$

... (4)

$R = \frac{V}{n}$ = معامل مانك لخسونة القعر $n =$ عدد سرعة جريان على سفح المؤخر للها

نصف القطر الهيدروليكي ويمكن التعبير عن التصريف لكل وحدة عرض (q) للقنوات العريضة (:

$$R \approx d_n$$

$$q = \frac{1}{n} \times d_n^{5/3} \times S^{1/2}$$

... (5)

:- dn العمق الطبيعي للماء ويمكن حساب (q) :

$$q = g^{1/2} \times d_c^{3/2}$$

... (6)

المعادلتين (5) (6) پنتح:

$$d_n^{5/3} = n \times g^{1/2} \times \frac{d_c^{3/2}}{S^{1/2}}$$

... (7)

$$\therefore (n = n_c) \quad (7) \quad \text{وبتعويض المعادلة (3)}$$

$$\therefore d_n = C \left[\frac{r'^{1/10} d_c^{9/10}}{S^{3/10}} \right]$$

(8)

يمثل ثابت مقاومة الجريان نتيجة الخشونة: $0.3242 = (0.153)^{3/5} = C$

2.2 تحليل القوى المؤثرة على سفح المؤخر المسببة للفشل:

$$: \quad \text{هي } (F) \quad (1)$$

...(9)

$$F = W_1 \sin \theta + W_{wg} \sin \theta + W_w \sin \theta + F_s \cos \theta$$

$$= W_w \text{ الصخرية} , \quad = W_{wg} \text{ وزن الحصى داخل للسلة الصخرية} \\ . \quad = F_s \text{ فوق السلة الصخرية} .$$

تحسب هذه القو_L لكل وحدة مساحة ، حيث مساحة السلة الصخرية = $(a_L \times b_L)$
 السلة الصخرية و b_L طول السلة الصخرية بكل هذه القو_L واجه مقاومة مماثلة بقوة الاحتكاك (FR)
 السلة الصخرية + والنتاجة من المركبة العمودية ()
 السلة الصخرية + .

$$FR = (W_1 \cos \theta + W_{wg} \cos \theta + W_w \cos \theta - F_s \sin \theta) \times \tan \phi_g \quad ... (10)$$

θ = زاوية ميل السفح المؤخر و ϕ_g = زاوية الوضع للسلة الصخرية.

عند بداية الزحف

=

$$(a'' \gamma_s h + (1-a'') \gamma_w h + \gamma_w d_n) \times \sin \theta + I \gamma_w h \cos \theta = \\ [(a'' \gamma_s h + (1-a'') \gamma_w h + \gamma_w d_n) \cos \theta - I h \gamma_w \sin \theta] \tan \phi_g \quad ... \\ (11)$$

- :

$$I = \frac{dh}{dl}$$

= dh هدار و بين مقدم = I الانحدار الهيدروليكي و هدار.

$$\left(a'' \left(\frac{\gamma_s}{\gamma_w} - 1 \right) h + h + d_n \right) S + Ih = \left(a'' \left(\frac{\gamma_s}{\gamma_w} - 1 \right) h + h + d_n \right) \tan \phi_g - IhS \tan \phi_g \dots$$

(12)

-:

$$s = \frac{\sin \theta}{\cos \theta}$$

فلذا يمكن كتابة المعادلة (12) يمكن التعبير عن $a'' \left(\frac{\gamma_s}{\gamma_w} - 1 \right)$

$$\frac{d_n}{h} (\tan \phi_g - S) = K_2 \left[\frac{S}{\tan \phi_g} + \frac{I}{K_2} + \frac{IS}{K_1} - 1 \right]$$

... (13)

$= K_1, K_2$ -:

$$K_1 = (1 + A)$$

$$K_2 = (1 + A) \tan \phi_g$$

وبتعويض المعادلة (8) ينتج :

$$\left(\frac{d_c}{h} \right) = \left[\frac{K_3 S^{3/10}}{(\tan \phi_g - S)} \left(\frac{S}{\tan \phi_g} + \frac{I}{K_2} + \frac{IS}{K_1} - 1 \right) \right]^{10/9}$$

... (14)

-:

$$K_3 = \frac{K_2}{C b'^{0.1}}$$

3-العمل المختبرى

العمل المختبرى ي نماذج لهدرات ركامية بميول مختلفة لسفح المؤخر هـ
 (1V:2H) على التوالي وبميل ثابت لسفح الـ (1V:3H, 1V:4H, 1V: 5H, 1V: 5H)
 (2). تم بناء النماذج يساوى عرض القناة المختبرية التي تم بناء
 هدار فيها (81) سم مع وضع حاجز غير نفاذ بعرض القناة
 ع من مادة البلاستيك و (6) ملم تم تثبيته في إطار حديدي مثبت .
 الصخرية المستخدمة لحماية سفح المؤخر للهدار كانت بأبعاد (20 × 25) تم تصنيف هذه
 مجاميع اعتماداً على ميول سفح المؤخر للهدا المشار إليه أعلاه. كل مجموعة تتضمن
 (11.11 15.9 22.25 = Ds) .

الفحص أربع مرات للنموذج الواحد وكما يأتي (1) قيمة $NL = 1$ بدون ربط السلال الصخرية مع بعضها وبطقة واحدة ، $(M - H)$ قيمة $NL = 1$ بربط السلال الصخرية أفقياً مع بعضها $(M - V)$ قيمة $NL = 1$ بربط السلال الصخرية رأسياً مع بعضها $(M - L)$ قيمة $NL = 2$ بدون ربط السلال الصخرية مع بعضها وبطبقتين) NL تمثل عدد طبقات السلال الصخرية . تحديد موافه هدار الهدار (15) (1) يبين بعض الأبعاد المهمة في إنشاء قطر يساوي (11.11)

-4- القناة المختبرية:-

(1) مقدمة الهدار يوجد بئر مراقبة من الخرسانة ذات قطر ثابت بطول (24.64 سم) وعمق (15 سم × 15 سم) وهي ملائمة لقياس التصريف في القناة. وفي الجهة اليسرى للوحوض وعلى بعد (1.75 م) عن القناة. تم تثبيت ملقطات العمق (Point Gauges) على جداري القناة مقاس (0.75 م) على شكل زاوية وبصورة أفقية تستخدم لتنبيه ملقطات العمق (Point Gauges) عليها. يتصل مقدم القناة بحوض التغذية (2.25 × 1.25 × 1.2) . يصل الماء إلى الحوض بوساطة (15.24) سم مثبت عليه صمام للسيطرة على التصريف وي من خزان أرضي في المختبر عن طريق مضخة يصل تصريفها التصميمي إلى (100 ل/ثانية). على بعد (2.5 م) بوابة الكسح التي تبلغ أبعادها الداخلية (1 × 0.81 × 0.81) وإطارها الخارجي مصنوع من الحديد وصفحة معدنية سماكتها (4) ملم ولها خاصية الحركة إلى الأعلى والأسفل عن طريق قضيب تم تثبيت ملقطات العمق على القناة لغرض قياس منسوب سطح الماء وعمق الماء الذيلي. يتصل بنهاية القناة حوض التصريف (8) (0.8) (1.2) (0.5) متر ثبت فيه هدار حديدي بمقطع (18 × 50 سم) (0.6) سم لقياس تصريف الماء في القناة. وفي الجهة اليسرى للوحوض وعلى بعد (1.75 م) مقدم الهدار يوجد بئر مراقبة من الخرسانة بأبعاد (15 سم × 15 سم) وبعمق

(0.6) متر ذو وجه زجاجي لكي يمكن ملاحظة وقياس منسوب سطح الماء فوق الهدار بوساطة مقياس مثبت على الوجه الزجاجي منه. تم وضع مطفح على أحد جانبي القناة بأبعاد (34 × 34 × 1.94) متر من بداية القناة تصريف مستقر مع الزمن وكما مبين في الشكل (3).

5- مواصفات المواد المستخدمة في التجارب :-

1.5 - مواصفات الحصى:
الهدار والسلال الصخرية هي من الحصى النهري تم اختياره بمديات قليلة من المناخل لكي نتمكن من الحصول على الحجم المطلوب للحصى. تمت عملية الفصل بتمرير الحصى من منخل معين وارتداده على منخل آخر حسب المواصفات . وعند ذلك فإن الحجم المطلوب للحصى هو معدل حجم المنخلين . إن زوايا الاحتكاك الداخلي للحصى (ϕ) يمكن الحصول عليها باستخدام الطريقة التي تعتمد على قياس زاوية الاستكانة (Angle of Repose) (2) وقد كانت ضمن الحدود التي أشار إليها الباحثان سايمونز [12].

2.5 مواصفات السلال الصخرية:-

تم صنع السلال الصخرية المستخدمة في التجارب لحماية سفح المؤخر للهدار في المختبر من نوع خاص من أكياس النايلون المشبكة، (5). هذه الأكياس تم إعدادها على شكل حقائب مستطيلة الشكل وبأبعاد (25 × 20 سم) ملئت بالحصى المطلوب إلى أن تحصل على صخرية بمقدار (D_s) بعدها حدد وزن السلة الصخرية ولكل .

إن طريقة وضع السلال الصخرية على سفح المقدم والمؤخر كانت على النحو الآتي: في بداية سفح المؤخر أربعة سلال صخرية ثم يليها في المفاصل متداخلة كما مبين في (4). تم تحديد الصلادة (a') (Solidity) (صلادة طبقة السلة الصخرية) لكل نوع من الحصى من المعادلة الآتية[7]:-

$$a' = \frac{m}{a_L b_L \rho_s h}$$

.. (15)

- m = كتلة السلة الصخرية . وقيم الصلادة للسلال الصخرية تم توضيحها في الجدول (3)

6- التجارب المختبرية :-

تتلخص خطوات إجراء التجارب المختبرية بما يأتي:-

- 1 () () () () ()
السلال الصخرية على الهدار
السلال الصخرية مع بعضها على سفح المقدم والقمة.
- 2- تم تجهيز الماء (تشغيل المضخة) للفناة والتحكم بالتصريف الداخل إلى القناة عن طريق القفل الموجود في بداية القناة والبوابة. حيث ي

المطلوبة وهي الماء الذيلي وارتفاع الماء فوق الهدار الموجود في نهاية القناة وبعد نصف ساعة يتم تغيير التصريف وتم ملاحظة حركة السلال الصخرية يقظة وكذلك حركة الحصى الموجود داخل السلة الصخرية وتستمر التجربة بتغيير التصريف كل نصف ساعة إلى أن يحدث الفشل أي تلاحظ حركة السلة الصخرية من زحف تسجل هذه القراءات ويتم حساب تصريف . ويؤخذ معدل للتصريف خلال الفشل وقبله. بعد زيادة كل تصريف فإن حركة السلال الصخرية تلاحظ بدقة ويسجل عدد السلال الصخرية المتحركة ورقم له السلال الصخرية وفي أي صف بدأ الانهيا وتصور هذه الحالات وكما مبين في اللوح (1)

7- تحليل ومناقشة النتائج المختبرية

1.7 العوامل المؤثرة على تصريف الفشل
1.1.7 1 ميل Downstream Slope

إن إحدى الأهداف الأساسية للبحث هي دراسة تأثير ميل سفح المؤخر على تصريف الفشل رسمت العلاقة بين الميل وتصريف الفشل لحالات وضع السلال الصخرية على سفح المؤخر (-5) (5-) والعلاقة التي تربط تصريف الفشل وميل سفح المؤخر يمكن كتابتها :-

$$q_f = a_1 S^{b_1} \dots (16)$$

ويلاحظ (5-5) أن تصريف زيادة سفح المؤخر يؤدي إلى زيادة سرعة الجريان مما يؤدي إلى زيادة تحريك السلة الصخرية على الأرجح، حيث ينبع ذلك من الجدول (4) أن العلاقة التي تربط بين تصريف الفشل وميل سفح المؤخر علاقة عكسية، حيث يتراوح معامل التحديد (R^2) بين (0.765) و(0.982).

2.1.7 كتلة السلال الصخرية

السلة الصخرية بثلاثة المختبرية أنه السلة الصخرية زاد تصريف الفشل وإن الزيادة في قطر الحصى المستخدم يسبب زيادة في السلة الصخرية و زيادة مركبة قوى الوزن العمودية على الجريان التي بدورها تؤدي إلى زيادة مقاومة (). رسمت العلاقة بين تصريف الفشل السلة الصخرية وللميلو M-2 , M-V ,) هدار (1V: 5H (1V:2.5H رية كالاتي:- (M-H , M-1) وكانت العلاقة التي تربط تصريف الفشل

$$q_f = a_2 W_g^{b_2}$$

... (17)

السلة الصخرية . $= W_g = b_2, a_2 :$

وقد تم إيجاد قيم التحديد (R^2) وكما مبينة في الجدول (5).
 الجدول يتبيّن بأن هناك علاقة طردية بين تصريف الفشل وكتلة السلة الصخرية حيث يتراوح معامل التحديد (R^2) بين (0.774) (0.999). (6) (6-) العلاقة بين تصريف السلة الصخرية لميل (1V:2.5H) على التوالي، ومن هذه يتبيّن أن تصريف الفشل يزداد بزيادة السلة الصخرية ونقصان الميل.

3.1.7 ربط السلال الصخرية مع بعضها:-

إن ربط السلال الصخرية مع بعضها سواء كان ربط أفقياً (M-H) رأسياً (M-V) يؤدي إلى زيادة تصريف الفشل حيث يزداد تصريف الفشل في حالة ربط السلال الصخرية مع بعضها البعض أفقياً أو رأسياً ويعزى سبب ذلك بأن حالة الفشل لا تحدث إلا عند حركة المجموعة المربوطة كلها مع بعضها م الهدار تحت السلال الصخرية وهذا يحتاج إلى تصارييف أكبر للحدوث لاسيما

2.7 معادلات تصريف الفشل لوضع السلال الصخرية:-

إن العوامل المؤثرة على تصريف الفشل كثيرة منها ميل سفح المؤخر (S) الصخرية (NL) ظل زاوية الوضع للسلة الصخرية ($\tan \phi_g$) صلادة طبقة السلة الصخرية (a') الكتالية (D_s) التعجيل الأرضي (g) الكتالية لـ (ρ_w) ($\rho_s - \rho_w$) (μ). إن تصريف الفشل للهدار المحمي بالسلال الصخرية يكون دالة لهذه المتغيرات.

$$q_f = f_1(S, NL, \tan \phi_g, a', D_s, g, \rho_w, \rho_s - \rho_w, \mu)$$

...
 (18)

وباستخدام نظرية باي [Pi-Theorem] يمكن صياغة العلاقة (18)

عملية التحليل

-:

$$\frac{q_f}{g^{1/2} D s^{3/2}} = f_2 \left(\frac{\rho_s - \rho_w}{\rho_w}, \text{Re}, (NL), \tan \phi_g, a', S \right)$$

... (19)

- Re = رقم رينولد يصف في زوجة الجريان عندما تكون أرقام رينولدز عالية يصل حاله الاضطراب الكامل عندها يضمن تأثير الزوجة في القنوات المفتوحة الخشنة ويمكن إهماله. وبإعادة ترتيب المتغيرات في المعادلة (19) يمكن كتابتها بالشكل الآتي:-

$$q_f = C_s g^{1/2} D s^{3/2} \left(\frac{\rho_s - \rho_w}{\rho_w} \times a' \times \tan \phi_g \right)^{e_1} (NL)^{e_2} (S)^{e_3}$$

... (20)

يمثل معامل تصريف الفشل تم إيجاد قيم الأسس = $C_s = e_3, e_2, e_1$:-
 Nonlinear) عن طريق إدخال البيانات لك المتغيرات وباستخدام طري (SPSS VER 10) (Regression
 -: في حالة وضع السلال الصخرية على سفح المؤخر بشكل (M-1,M-2):

$$q_f = C_s g^{1/2} D s^{3/2} \left(\frac{\rho_s - \rho_w}{\rho_w} \times a' \times \tan \phi_g \right)^{2.56} (NL)^{0.28} (S)^{-1.4}$$

0.904 = R^2 ومعامل التحديد (R^2) = C_s ... (21)

حيث إن قيمة (M-V) وكذلك تم إيجاد معادلات لحالة الربط الأفقي (M-H) :-
 -(M-H) -1

$$q_f = C_s g^{1/2} D s^{3/2} \left(\frac{\rho_s - \rho_w}{\rho_w} \times a' \times \tan \phi_g \right)^{2.6} (S)^{-1.3}$$

... (22)

حيث إن قيمة $C_s = 1.26$ ومعامل التحديد (R^2) = 0.86 : (M-V) -2

$$q_f = C_s g^{1/2} D s^{3/2} \left(\frac{\rho_s - \rho_w}{\rho_w} \times a' \times \tan \phi_g \right)^{2.1} (S)^{-0.98} \dots \quad (23)$$

حيث إن قيمة $C_s = 2.49$ ومعامل التحديد $(R^2) = 0.934$

3.7 زيادة نسبة تصريف الفشل مع عدد الطبقات

إن تصريف الفشل يزداد بربط السلال الصخرية مع بعضها رأسياً على سفح المؤخر للهدار، (6) يوضح النسبة المئوية لزيادة تصريف الفشل مع حالات وضع وربط السلال الصخرية.

4.7 العلاقة بين تصريف الفشل وقطر الحصى المستخدم

تم دراسة العلاقة بين تصريف الفشل وقطر الحصى المستخدم بالرجوع إلى الجدول (3) قيم $(a') = 0.597$ ومعدل قيم $(\gamma_s) = 26231.94 \text{ نيوتن /}^3$ (23 22 21)

رسم العلاقة بين تصريف الفشل وقطر الحصى لكافة الميول (1V:4H 1V:3H 1V:2.5H 1V:5H) ولكل حالة وضع وربط السلال الصخرية (7)، تبين من هذه تصريف الفشل يزداد بزيادة قطر الحصى، وأن تصريف الفشل يكون عالياً في حالة ربط السلال الصخرية رأسياً على سفح المؤخر وذلك لأن الربط الرأسى يزيد من كتلة السلال الصخرية ويحد من حركتها الانفرادية مما يؤدي إلى زيادة تصريف الفشل.

8-المقارنة مع دراسات أخرى:-

لأجل المقارنة مع دراسات سابقة تم رسم العلاقة بين تصريف الفشل وقطر الحصى المستخدم لحالة وضع السلال الصخرية بطبقتين (M-2) وللميل (1V:4H) مع نتائج تصريف الفشل للباحث داؤد (Dawood, 1999) (8). ويلاحظ من الشكل أن تصريف في الدراسة الحالية أكبر من دراسة الباحث داؤد وهذا يدل على أن الهدارات الركامية المحمية بالسلال الصخرية تكون كفاءتها أعلى من الهدارات الترابية.

9- طريقة التصميم :- Design Method

الأهداف الرئيسية لهذه الدراسة هي الحصول على طريقة تصميمية لحماية الهدارات الركامية باستخدام السلال الصخرية ولها الغرض فقد تم رسم منحنى تصميمي يستفاد منه في الحياة العملية كطريقة تصميمية بسيطة كما في (7) (7) التصميمية الخطوات الآتية:-

1- إجراء دراسة شاملة للموقع الذي سيقام فيه الهـ ويقدر معدل الجريان الأعظم المتوقع في ذلك .

2- يمكن اختيار ميل مناسب للسفل المؤخر للـ حيث ن الميل الشديدة () تعطي تصارييف فشل أقل من التصارييف التي تعطيها الميل المنبسطة و بينتها الحالية.

3- يحدد حجم الحصى () السـلـالـ الصـخـرـيـةـ حـسـبـ توـفـرـهـ فـيـ موـقـعـ الـعـلـمـ أوـ بالـقـرـبـ مـنـ المـوـقـعـ كـمـاـ أـنـ عـدـ الـطـبـقـاتـ يـمـكـنـ اـسـتـعـةـ عـنـهـ بـرـبـطـ السـلـالـ الصـخـرـيـةـ أـفـقـيـاـ رـأـسـيـاـ بـعـضـهـاـ.

4- يمكن الحصول على تصريف الفشل من المنحنيات (7) (7) العلاقة بين تصريف الفشل ومن الضوري يساوي (2) () قسمة معدل تصريف الفشل على قيمة الجريان الأعظم يجب أن يكون مساوية يتم الـ لـ عـلـىـ هـذـهـ فـيـ هـذـهـ الـحـالـةـ يـمـ زـيـادـةـ القـطـرـ الـمـسـتـخـدـمـ أوـ زـيـادـةـ عـدـ طـبـقـاتـ السـلـالـ الصـخـرـيـةـ أوـ كـلـاهـماـ وـإـذـاـ لـمـ يـتـمـ الـ هـدـارـ.

الرياضياتي مبين ولغرض تطبيقه فإنه يتطلب إيجاد المتغيرات من الصخرية الموضوعة على سفح المؤخر للهـدار وهذا يتم (1) الذي يبين فيه عدد طبقات السـلـالـ الصـخـرـيـةـ المـوـضـوـعـةـ عـلـىـ سـفـحـ المـؤـخـرـ رـيـةـ لـكـلـ أـنـوـاعـ الـحـصـىـ الـمـسـتـخـدـمـ مـبـيـنـةـ فـيـ الجـدـولـ (3).ـعـنـهـ يـتـمـ حـاسـبـ الكـثـافـةـ الـكـتـلـيـةـ وـيـتـمـ مـعـرـفـةـ طـوـلـ الـمـيـلـ الرـئـيـسـ لـلـسـفـحـ وـعـرـضـهـ ()

حيـثـ يـخـذـ اـرـتـاقـ الطـبـقـةـ مـساـوـيـاـ إـلـىـ القـطـرـ (D_s)

المستخدمة كما مبين في الجدول (7). وقيم زاوية الاستكانة (ϕ_g) (3) بعدها يتم فرض قيمة الحماية (h) يـقـ غـايـتـيـنـ الـأـوـلـىـ هـيـ الـاقـرـابـ مـنـ لـتـصـرـيـفـ الـحـقـيقـيـ المقـاسـ لـلـفـشـلـ والـثـانـيـةـ يـقـ قـيـمةـ عـالـيـةـ لـصـلـادـةـ طـبـقـةـ السـلـالـ الصـخـرـيـةـ.ـوـتـحـسـبـ صـلـادـةـ السـلـالـ الصـخـرـيـةـ مـنـ الـمـعـادـلـةـ (1) يـكـونـ حدـ خـشـونـةـ وـجـهـ مـادـةـ الـحـمـاـيـةـ (b') (2)

مسـاوـيـاـ لـ (D_s). يتم بـ كـلـ مـنـ قـيمـ ($h_c, K_3, K_2, K_1, C, A, \tan \phi_g$) ()

(Matlab). بعد ذلك يتم حساب قيمة (d_c) (14) و قيم تصريف

(6). قيم تصارييف الفشل المحسوبة مع قيم تصريف الفشل المقاسة وتعاد هذه العملية عدة يتم الـ لـ عـلـىـ قـيـمـ مـتـقـارـبـةـ لـلـتـصـرـيـفـ الـمـقـاسـ معـ التـصـرـيـفـ الـمـحـسـوبـ وبـعـدـهاـ يـحـدـ معـاملـ تصـحـيـحـ تصـرـيـفـ الفـشـلـ (C_f) بـقـسـمـةـ تصـرـيـفـ الفـشـلـ الـمـقـاسـ عـلـىـ تصـرـيـفـ الفـشـلـ الـمـحـسـوبـ كـمـاـ

- (8). ولغرض الحصول على قيمة حقيقة لتصريف الفشل تضرب القيم المحسوبة للتصريف بـ (8) يلاحظ أن قيم (C_f) (الماء $1V:3H, 1V:4H$) ت العلاقة بين تصريف . (1.05) حيث كانت قيم (C_f) المقاس من التجارب المختبرية في الشكل (9) (Perfect agreement) .
- 6 14) وتصريف .
القيم
ي

-10

من هذا البحث تم التوصل الى الاستنتاجات الآتية:-

- 1- تم إيجاد العديد من المعادلات الوضعية التي تربط تصريف الفشل مع ميل سفح المؤخر وكتلة السلال الصخرية وظهر وجود علاقة عكسية بين تصريف الفشل وميل سفح المؤخر للهدار ولوحظ زيادة تصريف الفشل بزيادة وزن السلال الصخرية وعدد الطبقات ومعدل قطر الحصى .
- 2- لحساب تصريف الفشل لكافة حالات وضع وربط السلال الصخرية.
- 3- تم تقديم طريقة تصميمية مبسطة لحماية الهدارات الركامية باستخدام السلال الصخرية وعلى شكل منحنيات تمثل العلاقة بين تصريف الفشل ومعدل قطر الحصى والتي منها يمكن اختيار حالة وضع وربط السلال الصخرية مع بعضها أو عدم ربطها.
- 4- معرفة الخصائص الفيزيائية الظاهرة للنمذج الخمسة تم اشتقاق نموذج رياضي بـ على فرضيات معينة لحالات الفشل بالزحف. وتم وضع علاقات رياضية تربط بين المتغيرات وعند تطبيق النموذج الرياضي تم الحصول على تصارييف قريبة من القيم المختبرية وللكل ثلاثة من السلال الصخرية المدروسة وبمعامل تصحيح لكل ميل من الميل الخمسة والحل الرياضي لحالات الفشل بالزحف هو الآتي:-

$$\left(\frac{d_c}{h} \right) = \left[\frac{K_3 S^{3/10}}{(\tan \phi_g - S)} \left(\frac{S}{\tan \phi_g} + \frac{I}{K_2} + \frac{IS}{K_1} - 1 \right) \right]^{10/9}$$

حيث يحسب عمق الماء ومنه يحسب تصريف . ومن ثم يضرب في معامل التصحيح.

5- من ملاحظة التجارب المختبرية التي نفذت تبين أن الفشل بالزحف هو الأكثر حدوثاً من الفشل

6- ربط السلال الصخرية مع بعضها يمنعها من الحركة الانفرادية والعشوائية.

11- المصادر

- [1]- AL- Mohammad, F.M.D.,1991,“ An Experimental Study of the Downstream Slope Stability with Overflow Rockfill Embankments”, M.Sc.Thesis, Department of Irrigation and Drainage Engineering , Mosul University, Mosul, Iraq (In Arabic).
- [2]- Parkin, A.K., Trollope, D., and Lawson, J.D., 1966, “Rockfill Structures Subject to Water Flow”, Journal of Soil Mechanics and Foundation, Division., ASCE, November.
- [3]- Freeman, G.E.,and Fischenich, J.C., 2000, “Gabion for Stream Banks Erosion Control” , Engineering Research and Progress, U.S. Army Engineer Research.
- [4]- Stefano, C.S., and Ferro, V., 1998, “Calculating Average Filling Rock Diameter for Gabion- Mattress Channel Design”, Journal of Hydraulic Engineering ASCE, Vol. 124, No. 9. PP. 975-978 September.
- [5]- Yoon, T.H.,"Wire Gabion for Protecting Bridge Piers", 2005, Journal of Hydraulic Engineering, Vol. 131, Issue11, PP.942-949, November.
- [6]- Maynord, S.T., 1995, “Gabion – Mattress Channel Protection Design”, Journal of Hydraulic Engineering, ASCE, Vol. 121, No. 7, PP. 519-522, July.
- [7]- Smith, K.V.H., 1979, “Wadi Surdud Model Testing of Weirs” Report on a Study Made in Collaboration with Sir William Halcrow and Partners, Swindan, February.
- [8]- Stephenson, D., 1980, “The Stability of Gabion Weirs”, International Water Power and Dam Construction Vol. 32, No.4 April, PP. 24-28.
- [9]- Gerodetti, M., 1981, “Model Studies of an Over-Topped Rockfill Dam”, International Water Power and Dam Construction, Vol. 33, No. 90.
- [10]- Dawood, B.K,1999 ,”Laboratory Study on the Stability of Earth Weirs Protected by Gabions”, Ph.D. Thesis, Department of Irrigation and Drainage Engineering, Mosul University, Mosul, Iraq (In Arabic).
- [11]- ASTM standard, 1972, “Method for Particle Size Analysis of Soils” Designation, D422-63, PP. 112-122.
- [12]- Simons, D.B.,and Senturk ,F., 1976,"Sediment Transport Technology",Water Resources Publications, Fort Collin,Colorado,U.S.A.

(1): الأبعاد المهمة في النماذج المستخدمة.

1V:5H	1V:4H	1V:3H	1V:2.5H	الميل	
2.5	2.0	1.50	1.25	() المسافة الأفقية	1
0.5	0.5	0.5	0.5	() المسافة الرأسية	2
2.55	2.06	1.58	1.346	طول الميل الرئيسي لسفح المؤخر) (3
10.2	8.24	6.32	5.38		4
40.8	32.96	25.28	21.536	عدد السلال الصخرية على السفح NL=1	5
81.6	65.92	50.56	43.04	عدد السلال الصخرية على السفح NL=2	6
11.31	14.04	18.44	21.8	() زاوية الميل	7

: (2) في الهدار والسلة الصخرية

0	D _s	يرتد على منخل	يمر من منخل	
()	()	()	()	
32.0	11.11	9.52	12.7	A
32.8	15.90	12.7	19.1	B
34.0	22.25	19.1	25.4	C

(20 × 25)

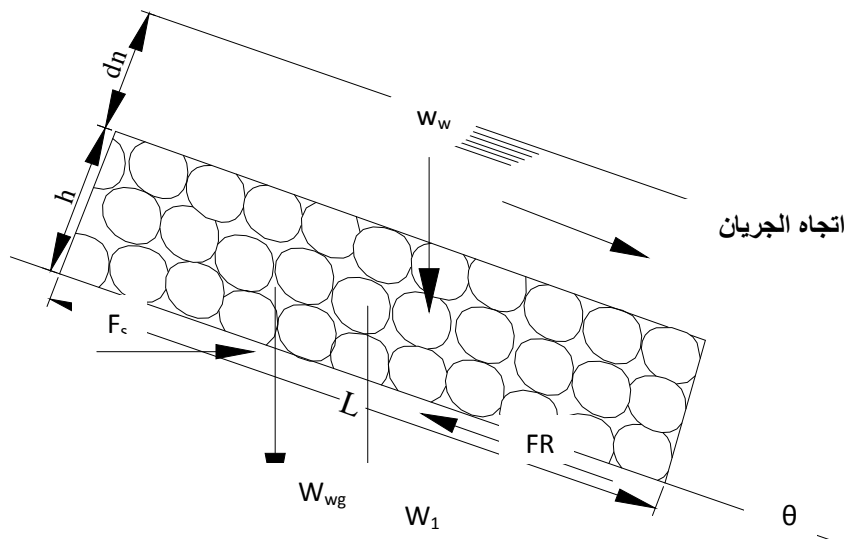
الصخرية

(3)

ρ_s^0 g	a'	ρ_s (kg/m^3)	ρ_s (kg/m^3)	(kg/m^3)	D_s (kg/m^3)
34.2	0.716	2.638	398	1050	11.11
35.4	0.576	2.664	458	1220	15.9
36.7	0.500	2.720	555	1510	22.25
35.4	0.597	2.674	470.33	1260	

الاجدول (4) قيم المعاملات (a_1 و b_1) ومعامل التحديث (R^2) للمعادلة (16).

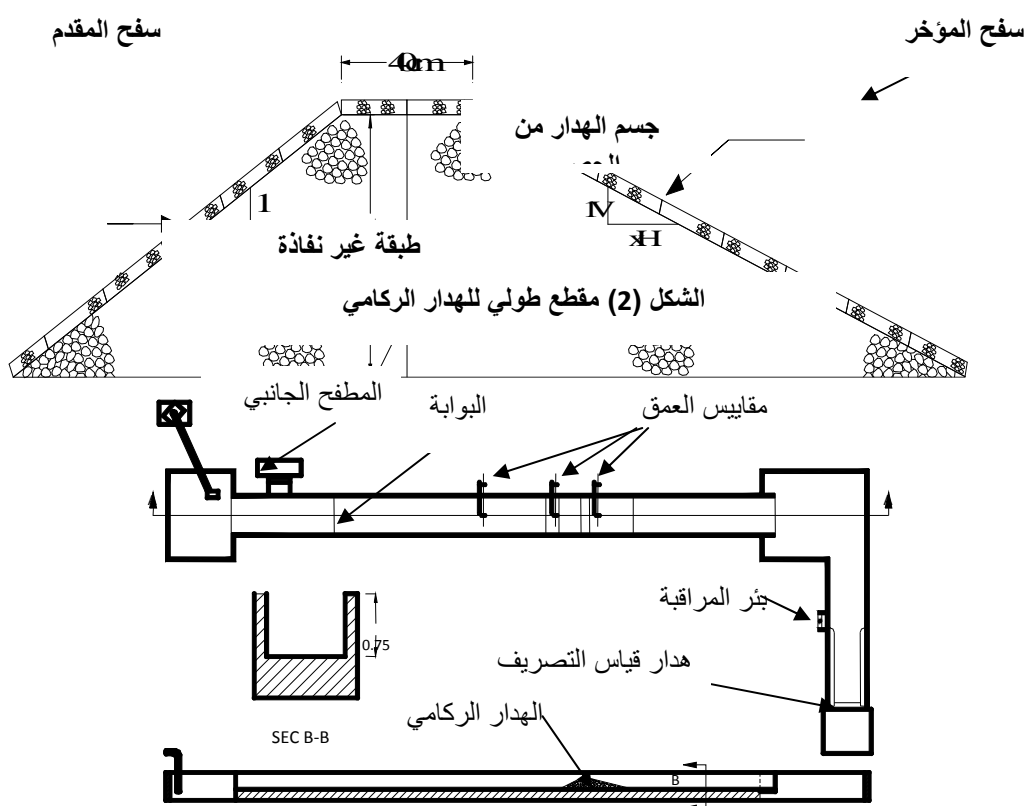
المجذول (8): معامل تصحيح تصريح تصريف القتل (C) للنموذج الرياضي.



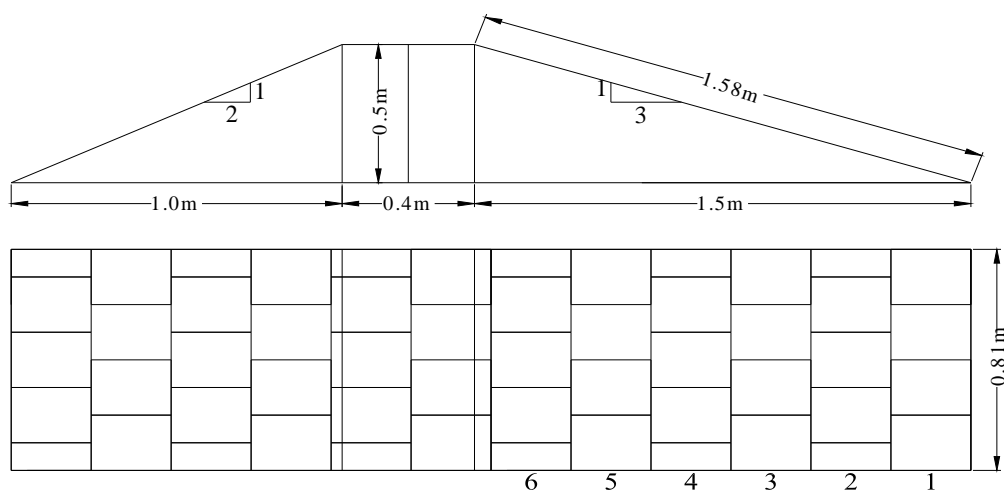
الشكل (1) القوى المؤثرة في طبقة السلة الصخرية

اتجاه الجريان

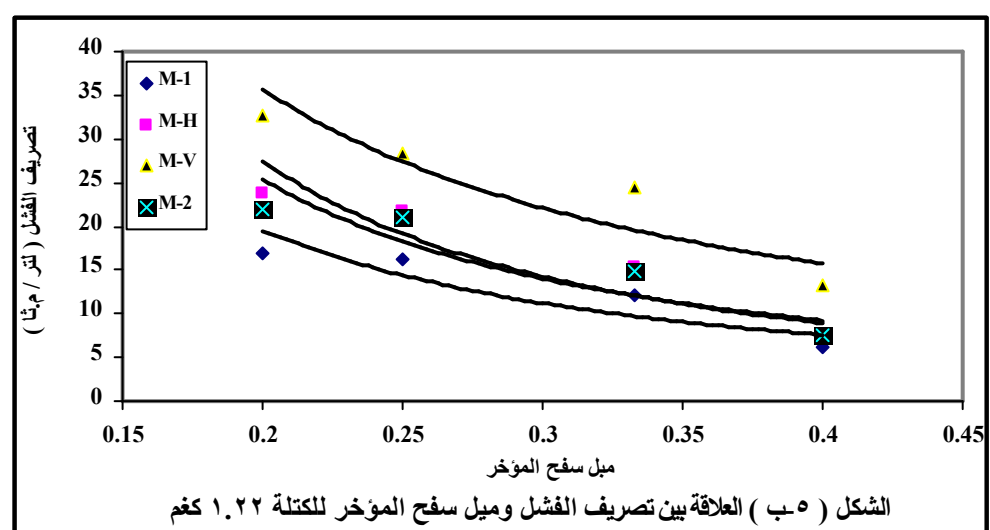
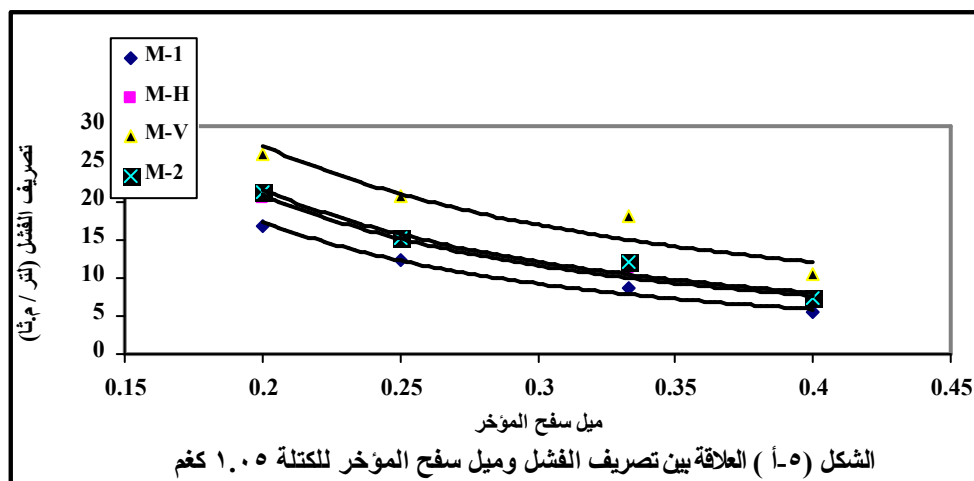
السلال الصخرية

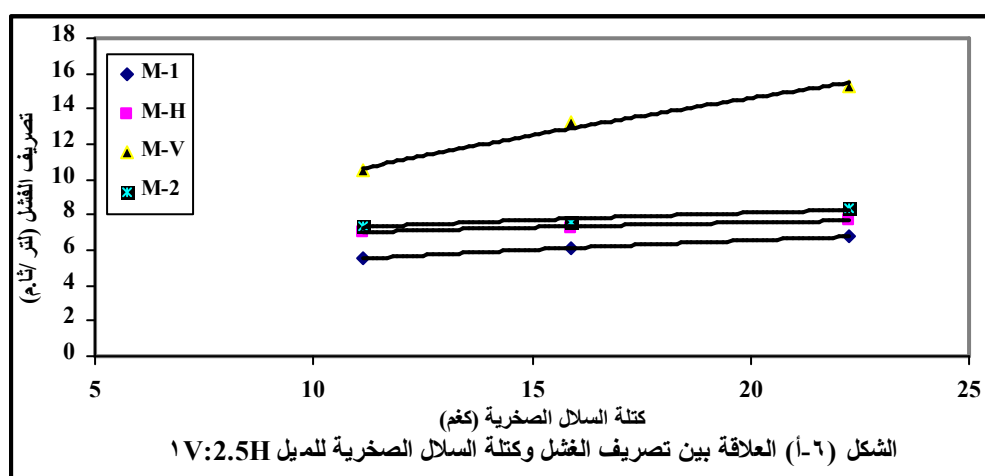
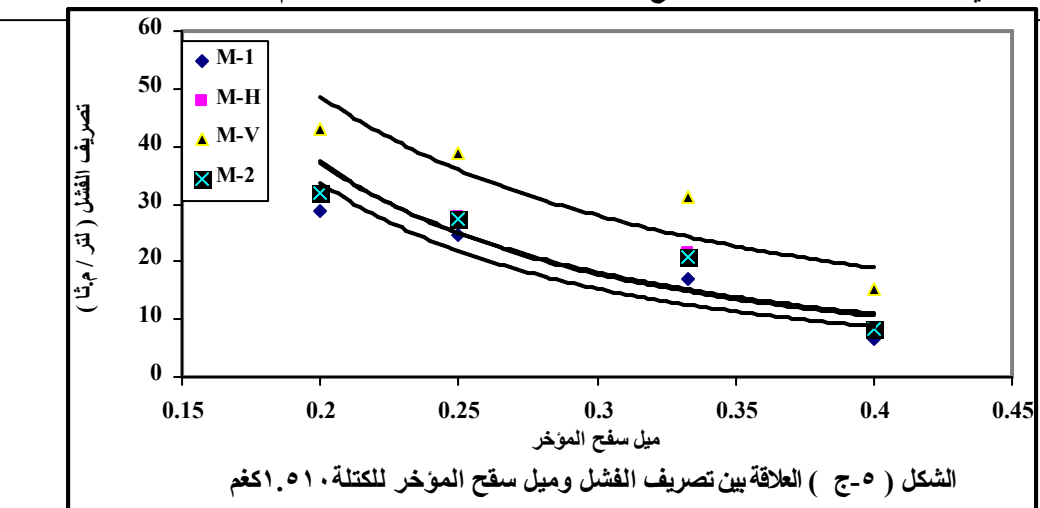


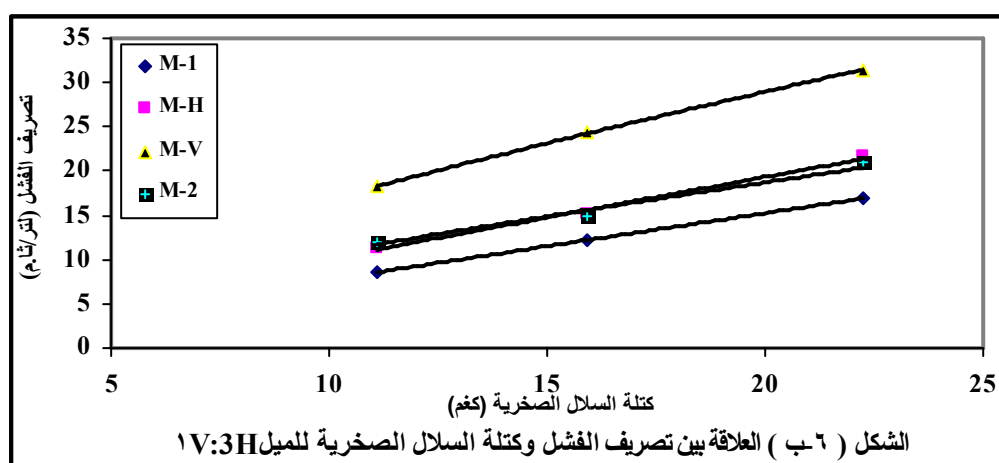
الشكل (2) مقطع طولي للهدار الركامي

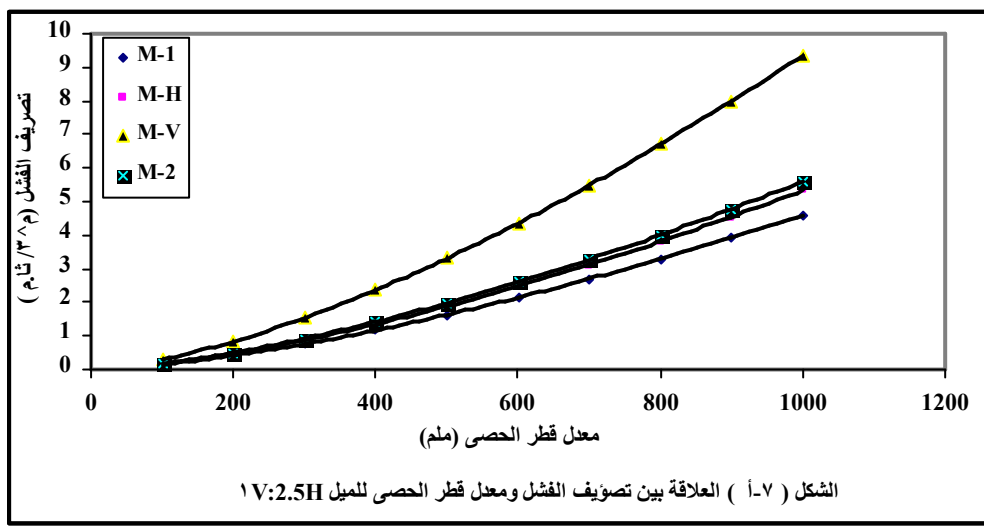
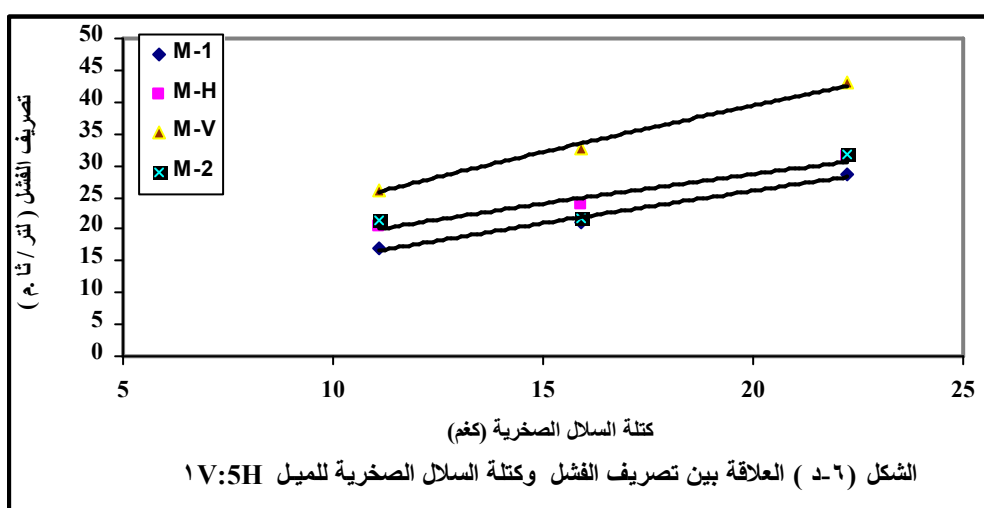
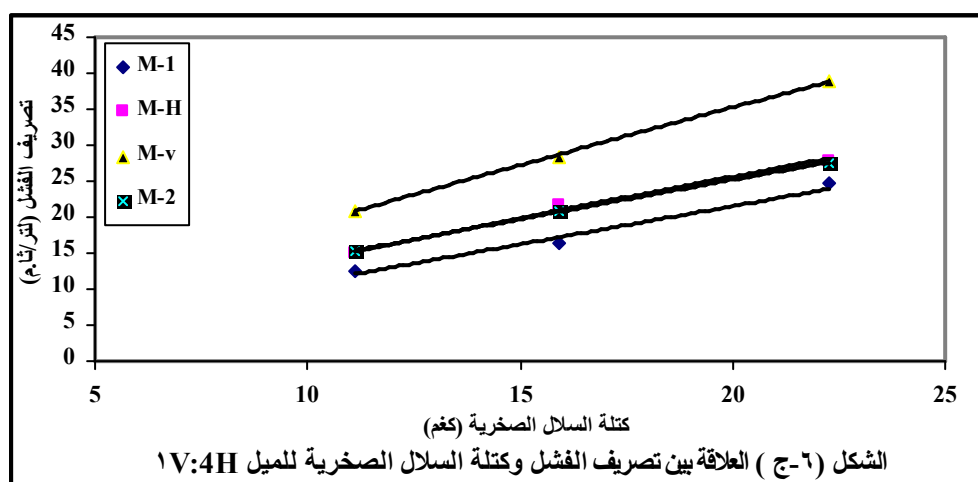


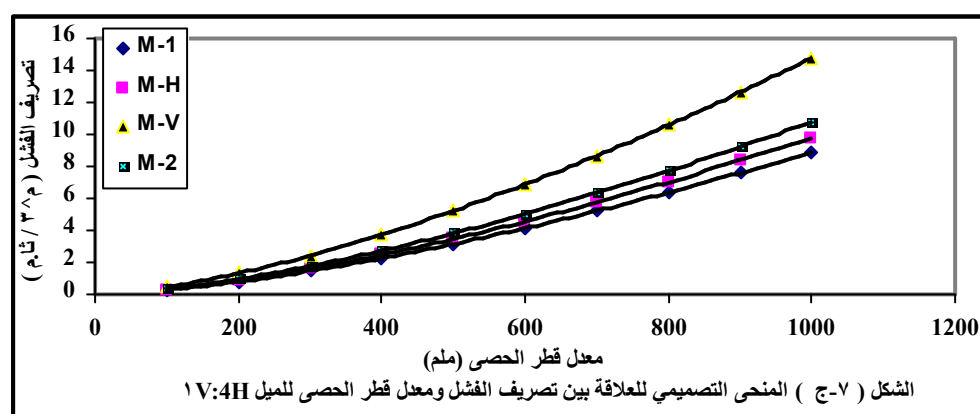
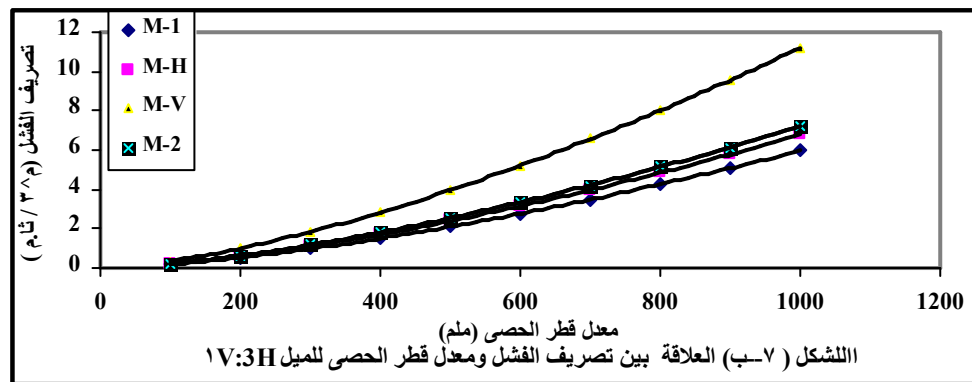
الشكل (4) منظر جانبي للهدار الركامي مع المسقط الاقي يوضح السلال الصخرية للميل (1V:3H)

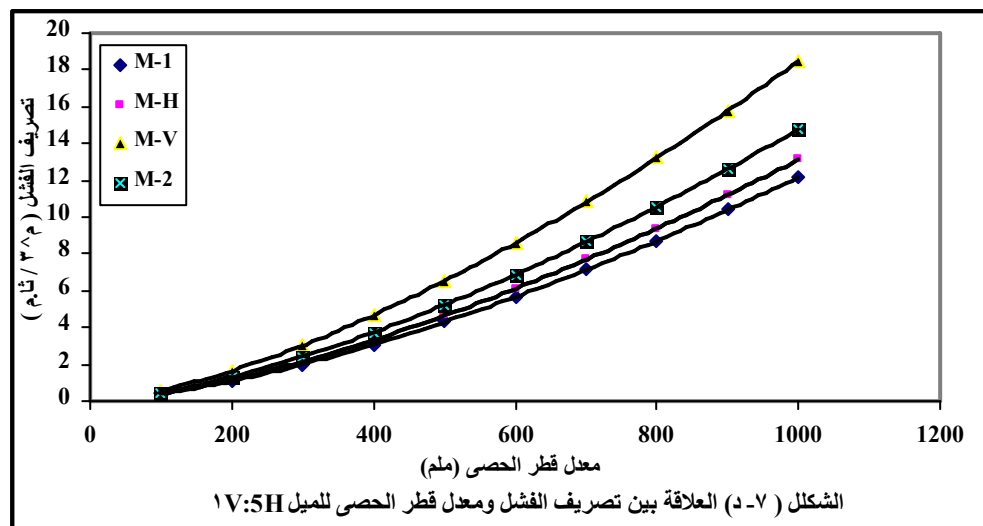


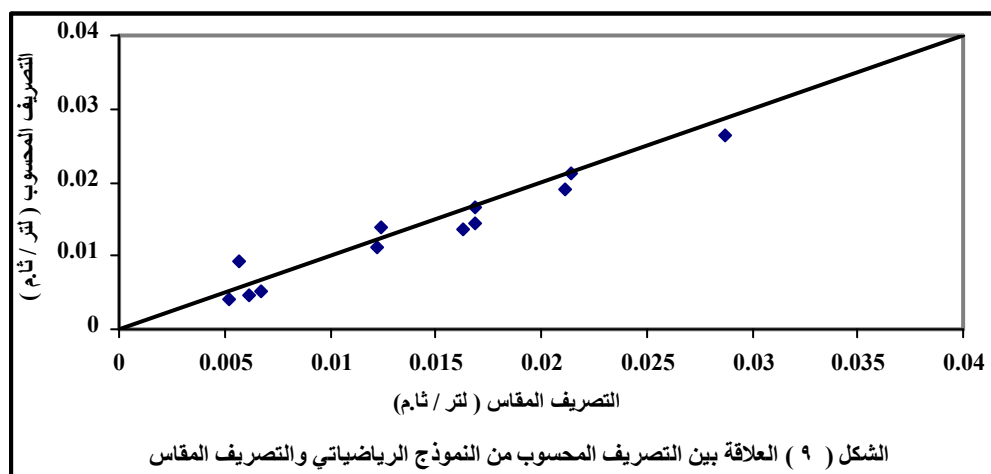
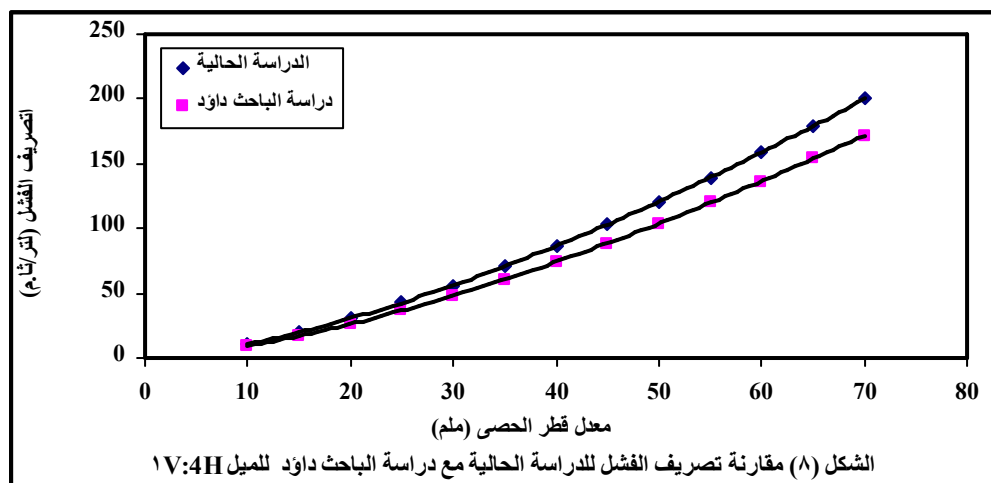












اللوحة (1) فشل الميل (1V:4H) للحالة (M-2) والكتلة 1.22 كغم

تم اجراء البحث في كلية الهندسة - جامعة الموصل